



11) Número de publicación: 2 135 350

21 Número de solicitud: 9800019

(51) Int. Cl.⁶: C12N 9/88 C12N 9/96 A61K 38/51

① SOLICITUD DE PATENTE

Α1

- 22 Fecha de presentación: 08.01.98
- (43) Fecha de publicación de la solicitud: 16.10.99
- (43) Fecha de publicación del folleto de la solicitud: **16.10.99**
- 71 Solicitante/s: UNIVERSIDAD DE MALAGA Plaza de El Ejido, s/n 29071 Málaga, ES
- (12) Inventor/es: Urdiales Ruiz, José Luis; Viquera Mínguez, Enrique; Esteban del Valle, Alicia; Olmo Aparicio, María Teresa y Sánchez Jiménez, Francisca María
- (74) Agente: No consta
- Título: Aplicaciones bioquímicas e inmunológicas de una proteína de fusión glutation transferasahistidina descarboxilasa de rata.

(57) Resumen:

Aplicaciones bioquímicas e inmunológicas de una proteína de fusión glutation transferasa-histidina descarboxilasa de rata.

Mediante transcripción inversa (RT) y amplificación en cadena (PCR) se obtuvo un cDNA de histidina descarboxilasa de rata residuos del 1 al 512 (rHDC1/512), que fue utilizado para la construcción de un plásmido recombinante capaz de expresar una fusión de la glutation transferasa (GST) con la rHDC1/512. La purificación de polipéptidos con actividad HDC se ve considerablemente simplificada y abaratada con la utilización de esta fusión (GST-rHDC1/512), en comparación con la obtención de proteína HDC de fuentes naturales. La proteína de fusión se puede utilizar para la búsqueda y caracterización de fármacos antihistamínicos que tengan como diana la actividad histidina descarboxilasa, y para estudios de afinidad, degradación y modificaciones post-traduccionales del polipéptido HDC. A partir de la proteína de fusión GST-rHDC1/512 se obtuvieron anticuerpos policionales, capaces de reconocer al antígeno original HDC de rata, con interés en el desarrollo de métodos de purificación y diagnóstico de la proteína.

DESCRIPCION

Aplicaciones bioquímicas e inmunológicas de una proteína de fusión glutation transferasa-histidina descarboxilasa de rata.

Campo de la técnica

La presente invención tiene su aplicación dentro de la industria farmacéutica dedicada al desarrollo y comercialización de productos con finalidad de diagnóstico, o de investigación en Biomedicina de enfermedades relacionadas con la respuesta inmune, la úlcera gástrica, y otras degeneraciones tisulares: cáncer (de colon, mama y pulmón), síndrome de Crohn, etc.; en definitiva, procesos fisiológicos y patológicos en los que esté directamente implicada la enzima histidina descarboxilasa.

Antecedentes

5

15

45

La enzima histidina descarboxilasa (HDC)(E.C. 4.1.1.22, según la clasificación de la Unión Internacional de Bioquímica), en células de mamíferos es una proteína homodimérica de aproximadamerite 110 kDa, muy minoritaria (menos del 0.001% del contenido proteico celular), cuya actividad es dependiente de piridoxal-fosfato o PLP. Esta actividad se expresa con actividad apreciable en un número muy reducido de tipos celulares: algunas células del sistema nervioso central y periférico, algunas células de la línea blanca como los blastocitos, mastocitos, epitelios digestivos y pulmonares, y algunos tejidos fetales, especialmente el hígado de fetos de roedores, y células cancerosas desdiferenciadas. En la mayoría de estas células o tejidos, no se ha estudiado aún en profundidad cuál es el papel fisiológico de esta enzima o de su producto, la histamina, aunque parecen estar claramente implicadas en la respuesta inmune, el choque anafiláctico, la transmisión sináptica de algunos tipos neuronales, y el desarrollo de tejidos fetales y cancerosos. Además, la proteína presenta una gran inestabilidad, tanto in vivo como en extractos libres de células, lo cual ha dificultado aún más su purificación y caracterización.

De hecho, la proteína nativa no pudo purificarse de tejidos de mamíferos hasta 1984 cuando Taguchi y colaboradores [J. Biol. Chem., (1984) 259: 5214-5221] purificaron parcialmente la enzima de rata partiendo de hígado fetal; a partir de 400 g de tejido consiguieron únicamente 940 μ g de proteína purificada, con un protocolo que incluye 8 pasos de purificación y tiene una recuperación del 5%. En 1990, Ohmori y colaboradores [J. Biochem., (1990) 107: 834-839] purificaron a homogeneidad la enzima de ratón utilizando como fuente de partida 90.000 millones de células de mastocitoma P-480, recogidas del líquido ascítico de 250 ratones inoculados con 4,5 minones de células siete días antes; así se obtenienen tan sólo 15 μ g de proteína HDC, fruto de 9 pasos de purificación con una recuperación del 7%. En estas condiciones la obtención de anticuerpos policlonales específicos de histidina descarboxilasa de mamíferos se convierte en un proceso muy costoso y poco rentable.

En ese mismo año 1990, Joseph y colaboradores [Proc. Natl. Acad. Sci., USA, (1990) 87: 733-737] clonaron un cDNA correspondiente a la histidina descarboxilasa de rata. Posteriormente, Yamamoto y colaboradores clonaron el cDNA completo de la histidina descarboxilasa de ratón [FEBS Lett., (1990) 276: 214-218], y Yatsunami y colaboradores [J. Biol. Chem., (1994) 269: 1554-1559] aislaron 24 Kb del gen de la HDC humana.

Aunque los cDNAs aislados de mamíferos codifican un polipéptido de 74-77 kDa, el monómero nativo tiene un tamaño de 53-57 kDa. Es decir, el producto primario de traducción del mensajero sufre una proteolisis parcial antes de dar lugar al monómero que forma parte de la enzima activa. De hecho, la versión completa de roedores no presenta actividad enzimática [Yamamoto y colaboradores, Biochem. Biophys. Acta, (1993) 1216: 431-440; y resultados de nuestro grupo no publicados]. Sin embargo, aún se desconoce el(os) punto(s) concreto(s) de la secuencia por donde tiene lugar el procesamiento de la proteína in vivo, y los mecanismos que operan en el proceso proteolítico.

Una gran dificultad para el estudio de la expresión fisiológica o patológica de histidina descarboxilasa en células de mamíferos es la escasez de anticuerpos específicos. En el mercado no existe ninguna preparación de anticuerpos específicos para esta proteína. Este hecho viene motivado por el bajo rendimiento de los protocolos de purificación de la proteína a partir de su fuente natural, que hace que el proceso no sea rentable para cualquier empresa del sector. Sin embargo, la comercialización de anticuerpos anti-HDC de mamíferos tendría una relevancia especial en métodos diagnósticos; lo cual es función de la importancia que tiene el antígeno en procesos de degeneración neurológica, procesos alérgicos, degeneración de epitelios digestivos (úlcera gástrica, síndrome de Crohn, cáncer de colon, leucemias blastocíticas, mastocitomas, etc.).

Breve descripción

55

Mediante reacciones de reverso transcripción y de polimerización de DNA en cadena efectuadas a partir de una preparación de mensajeros de hígado fetal de rata, se obtuvo un fragmento (correspondiente a los residuos 1-512, más 8 nucleótidos del extremo 5' no traducido del mensajero de HDC de rata) con extremos compatibles con el vector de expresión en *E. coli*, pGEX-3X, comercializado por Pharmacia-Biotech. Este vector, los derivados de él y los productos polipeptídicos obtenidos de ellos están recogidos en la patente de los Estados Unidos de referencia 5654176.

En nuestro caso, el plásmido recombinante, denominado pGEX-3X-rHDC1/512, se obtuvo por digestión con BamHI de ambos (plásmido e inserto) y posterior incubación con la ligasa del fago T4. Esta construcción recombinante se utilizó para transformar células de *E. coli* (estirpe XL1-Blue) mediante electroporación. La selección de colonias potencialmente positivas se efectuó mediante aislamiento de plásmidos por hidrólisis alcalina y mapas de restricción de los mismos. De este escrutinio resultó seleccionado uno de los clones que en lo sucesivo denominaremos cGEX-3X-rHDC1/512. La figura 1 muestra un esquema de la estrategia utilizada para la clonación en pGEX-3X del inserto rHDC1/512, lo que da como resultado en plásmido recombinante pGEX-3X-rHDC1/512.

Posteriormente, se realizó una puesta a punto de las condiciones idóneas de expresión de la construcción concreta cuyo producto sería un polipéptido de 79 kDa (tamaño teórico de la fusión GST-rHDC1/512)(GST= 26 kDa, HDC= 53 kDa), en respuesta al tratamiento con isopropil- β -D-tiogalactopiranósido o IPTG (inductor del promotor tac, que dirige la expresión de la fusión)(figura 1). Sobre el clon cGEX-3X-rHDC1/512, se estudió la eficacia de producción relativa del polipéptido de 79 kDa utilizando distintas concentraciones del inductor, IPTG, y distintas temperaturas de incubación durante la inducción. De estas pruebas efectuadas, resultaron fijadas las condiciones definitivas para los posteriores cultivos e inducciones, que se llevaron a cabo en una escala de cultivo 15 veces superior, siguiendo un protocolo que consistía básicamente en un cultivo en medio LB (medio Luria-Bertani, por litro: 10 g de bacto-triptona, 5 g de extracto de levadura y 10 g de NaCl), crecido a partir de un precultivo preparado la noche anterior, hasta alcanzar la fase exponencial de crecimiento (2 horas), la adición posterior de IPTG a una concentración final de 0,1-0,3 mM, y la incubación con el inductor durante 12 horas a 20°C. Tras la inducción, los cultivos se sonicaban y el contenido celular se sometía a una cromatografía de afinidad por glutation, que retenía a la fusión GST-rHDC1/512. Tras diversos lavados con tampón PBS (tampón fosfato salino: KCl 6,19 mM, NaCl 150 mM, fosfato monosódico 1,65 mM, fosfato bisódico 9,35 mM, pH 7,4), se procedía a la elución de la fusión de la columna utilizando tampón de elución que contenía Tris-HCl 50 mM, pH 8.0 y glutation reducido a concentración 10 mM. La fusión de 79 kDa suponía el 40-50 % de proteína de la preparación final. De manera que, como media, se obtenían 2-3 mg de la proteína de fusión por 500 ml de cultivo bacteriano.

El extracto purificado por afinidad a glutation se sometía a una electroforesis preparativa desnaturalizante (o SDS/PAGE). El fragmento de políacrilamida que contenía la banda correspondiente a 79 kDa (aproximadamente 2,4 mg) se extraía y se sonicaba en proporción 1:1 con coadyuvante completo de Freund.

Esta emulsión servía de preparación antigénica para la sensibilización de conejos de la estirpe Nueva Zelanda. La primera sensibilización de los conejos tuvo lugar mediante múltiples inyecciones subcutáneas que contenían aproximadamente 2,5 mg de proteína de fusión en un volumen total de 2 ml. Transcurridos 30 días de la primera inmunización, los conejos fueron sometidos de nuevo a múltiples inyecciones de una emulsión que contenía 2,5 mg de proteína de fusión aproximadamente en un volumen total de 2 ml. A los 10 días se realizó el sangrado del conejo, y se probó la capacidad inmunoreactiva del suero obtenido. De las pruebas realizadas se deduce que los sueros obtenidos contienen anticuerpos policionales, objeto de la presente patente, que son capaces de reconocer selectivamente al polipéptido de partida (inmunógeno) y al polipéptido de la HDC 17/656 de rata expresado in vitro a partir del plásmido recombinante pX-HDC [obtenido a partir del clon HDC-2.3 de Joseph y colaboradores, Proe. Natl. Acad. Sci., (1990) USA, 87: 733-737].

Este trabajo supone una gran simplificación y un abaratamiento extraordinario de la obtención de la proteína y de sus anticuerpos, lo que permite abordar, por tanto, la producción de estos anticuerpos a escala industrial con fines diagnósticos y de investigación. Los anticuerpos obtenidos reconocen al polipéptido de HDC de rata, tanto en estado nativo (inmunoprecipitación) como en estado desnaturalizado (transferencia "Western"). Estas características avalan la posibilidad de que puedan ser empleados en el desarrollos de métodos de diagnóstico o seguimiento de la expresión de HDC de rata del tipo RIA, ELISA, pulso con radioligandos (por ejemplo, con ³⁵S-metionina) y seguimiento mediante inmunoprecipitación de la expresión, maduración o degradación en células en cultivo, etc. El abaratamiento de este

procedimiento frente a la obtención de polipéptido rHDC de su fuente natural por medios convencionales se estima en al menos 200 veces.

La posibilidad de liberar la fracción GST mediante tratamiento proteolítico, abre la posibilidad de modificación del protocolo para la obtención de polipéptido rHDC1/512 libre de fusión, si bien la inestabilidad de esta proteína hace que disminuya notablemente el rendimiento de la producción de antígeno. A pesar de esta pérdida de rendimiento, esta posibilidad podría ser interesante para obtener polipéptido de HDC purificado como proteína patrón en algunos de los métodos inmunológicos mencionados anteriormente (RIA, ELISA, etc).

Además, la fusión GST-rHDC1/512 presenta actividad HDC, lo cual facilita la generación y análisis de secuencias mutantes que tengan como finalidad la detección y caracterización de residuos implicados en el sitio catalítico de la enzima HDC.

Descripción detallada de la invención

10

Puesto que la patente del plásmido pGEX-3X está vigente y abarca también a los productos de fusión, mencionaremos, aunque de forma resumida el procedimiento por el cual se obtuvo la proteína de fusión cuyas aplicaciones son el objeto de la presente patente. Los protocolos de extracción, manipulación, recombinación in vitro de DNA, y transformación bacteriana quedan perfectamente descritos en la bibliografía sobre técnicas de DNA recombinante [ver Sambrook y colaboradores, Molecular Cloning: a laboratory manual, (1989) Cold Spring Harbor Laboratory Press]. En la presente descripción detallaremos el protocolo de obtención del suero que contiene los anticuerpos que reconocen este polipéptido y los experimentos realizados para la comprobación de la invención y su aplicabilidad.

Los fetos de rata, material de partida para la obtención del cDNA de HDC 1/512, tenían 16 días de gestación y procedían de una rata de raza Wistar gestante. Se procedió a la extracción de RNA mensajeros utilizando 100 mg de tejido y el preparado comercial McroFastTrack de Invitrogene. Para la reverso transcripción (RT) se utilizó la reverso transcriptasa de leucemia del virus murino de Molowni (Boehringher Manheim). La reacción procedió en un volumen final de 20 μl durante 60 minutos a 37°C, en presencia de desoxinucleótidos (dNTPs) a concentración 1 mM (Boehringher Manheim), 10 μl de solución de mensajeros, 22 unidades de enzima, y 50 pmoles del cebador sintético H1, de secuencia 5'-ACCCTCAGGATCTACTCCAGGGATAGCC-3', fabricado a petición nuestra por Pharmacia-Biotech), y que introduce un sitio de parada de la traducción (en negrita) en la posición del aminoácido 513 de la secuencia de HDC de rata, y un sitio de restricción BamHI subrayado en la secuencia. La reacción se paraba por calentamiento a 65°C durante 10 minutos.

La reacción PCR posterior procedió en el mismo tampón con volumen final $100~\mu$ l, durante un ciclo de desnaturalización (3 min y 94°C), 30 ciclos de amplificación (desnaturalización 1 min y 92°C, hibridación 2 min y 45°C, polimerización 3 min y 72°C), y una extensión final de 5 min a 72°C. La amplificación ocurrió gracias a la presencia de los dNTPs y un nuevo cebador adicional (H2), de secuencia 5'-GATTT GGATCCCTATGATGGATCCCAG-3', que introduce un sitio BamHI (subrayado) antes del codón que codifica la primera metionina (en negrita) de la HDC de rata. La secuencia completa del fragmento amplificado con los cebadores H1 y H2 y la secuencia traducida en aminoácidos en el marco de lectura correcto se detalla en la Lista de secuencias. Se marca también los sitios de corte con la enzima de restricción BamHI. Una vez secuenciado el producto de amplificación se observó que presentaba algunas mutaciones con respecto a la secuencia publicada por Joseph y colaboradores [Proc. Natl. Acad. Sci., (1990) USA, 87: 733-737], hecho que probablemente se debe a variaciones alélicas dentro de una misma especie. El producto de PCR obtenido fue subclonado en el plásmido pCR-ScriptTM AmpSK(+) de la casa comercial Stratagene y el plásmido recombinante obtenido se utilizo para transformar una suspensión de $E.\ coli\ XL1$ -Blue. De las colonias obtenidas se aisló el plásmido recombinante y se digirió con BamHI.

Tras la digestión del producto de amplificación y del plásmido pGEX-3X con BamHI, ambos DNAs se sometieron a una electroforesis horizontal submarina (gel de 0,8% de agarosa en Tris 40 mM, acetato sódico 20 mM, EDTA 1mM, pH 7,2). Las bandas electroforéticas de tamaño adecuado se purificaron utilizando el preparado comercial GeneClean (BIO 101 Inc.). El plásmido pGEX-3X se trató con fosfatasa alcalina de intestino de buey (Boehringher Manheim) para evitar su recircularización. Una vez purificado el producto de amplificación y el plásmido pGEX-3X desfosforilado se ligaron *in vitro* mediante la reacción de la ligasa del fago T4 comercial (Boehringher Manheim).

La mezcla de la reacción de la ligasa se utilizó para transformar una suspensión de la cepa *E. coli* XL1-Blue. Sobre seis clones aislados se extrajó DNA plasmídico y se comprobó, mediante digestiones con distintas enzimas de restricción, la orientación del cDNA de HDC de rata insertado (en sentido o anti-

sentido respecto al promotor tac presente en el plásmido). Se seleccionó un clon insertado en el sentido correcto para el análisis posterior de la eficacia de expresión de la fusión GST-rHDC1/512 en respuesta a diferentes concentraciones de IPTG.

Como puede apreciarse en la figura 1, en cGST-rHDC1/512, la fusión ocurre entre un residuo de prolina de la secuencia de GST, situado al final del sitio BamHI, y la primera metionina de la rHDC1/512. El codón que codifica la última prolina perteneciente a la GST tiene en su tercera posición una timina procedente de la rHDC1/512 en lugar de la citosina presente en el plásmido original, esta substitución no altera el aminoácido codificado por dicho codón. De manera que la fusión expresada en respuesta a IPTG tiene un peso molecular teórico de 79 kDa.

La inducción de la expresión de cGST-rHDC1/512 se realizó diluyendo un cultivo bacteriano, crecido durante toda la noche en medio LB sin IPTG, e incubándolo en el mismo medio a 37°C durante 2 horas. Transcurrido ese tiempo se añadió IPTG a concentración final 0,3 mM, y se proseguió la incubación a 20°C durante 12 horas.

La figura 2 muestra el resultado de la expresión de la fusión en un cultivo de cGST-rHDC 1/512. Una vez concluidos el tiempo de inducción, las bacterias presentes en 1,5 ml de cultivo se centrifugaron, lavaron en tampón PBS 1X y resuspendieron en 200 μ l del tampón PBS-Triton X-100 al 0,1% y se sonicaron en un sonicador Branson modelo Sonifier 250. Posteriormente, el extracto se centrifugó a 13.000 rpm, obteniendo por separado un sobrenadante (proteínas solubles) y un sedimento en el que incluye los cuerpos de inclusión que la bacteria forma con la proteína expresada. La fotografía corresponde al resultado de una electroforesis desnaturalizante convencional en gel de poliacrilamida y SDS, en la que se habían cargado 5 μ l de sedimento (calle 1) o sobrenadante (calle 2) de los extractos bacterianos, así como al resultado de la purificación por cromatografía de afinidad a glutation-Sepharose (calle 3), siguiendo las recomendaciones de la casa comercial (Pharmacia Biotech). Las proteínas se tiñeron con Azul de Coomasie R-250.

En la distintas pruebas efectuadas la cantidad de polipéptido GST-rHDC1/512 se estimó en aproximadamente el 40% de la cantidad de proteínas totales. En caso de que la fusión fuera activa, este sistema proveería de un método de escrutinio rápido de actividad/pérdida de actividad HDC de secuencias mutadas en residuos o fragmentos potencialmente implicados en el mecanismo de reacción. Es más, la fusiones GST-HDC en estado nativo activo, en lo que a actividad HDC se refiere, serán de gran utilidad como herramienta biológica: i) en estudios de afinidad de la fracción HDC a otros polipéptidos, como ha ocurrido en el caso de la ornitina descarboxilasa [Coleman y colaboradores, J. Biol. Chem., (1993) 268: 24572-24579; Coleman y colaboradores, J.Biol. Chem., (1994) 269: 3155-3158], ii) en estudios encaminados a esclarecer el mecanismo proteolítico de la maduración o degradación de la HDC en células de mamíferos, iii) en la selección ("screening") de fármacos antihistamínicos que tengan como blanco de acción la propia enzima productora de histamina.

Por ello, se detectó la actividad HDC de los sobrenadantes de las bacterias inducidas por 0,3 mM IPTG. El método está basado en el seguimiento del desprendimiento de ¹⁴CO₂ catalizado por la enzima a partir de histidina marcada con ¹⁴C en el carbono 1 en una mezcla que contiene ditiotreitol 0,2 mM, PLP 10 μM, polietilenglicol-300 10 mg/ml y fosfato potásico 100 mM pH 6,8. El desprendimiento de CO₂ se midió como describimos previamente en Urdiales y colaboradores [FEBS lett., (1992) 305: 260-264]. La tabla I muestra los resultados obtenidos con distintos volúmenes de sobrenadante de bacterias cGST-rHDC1/512 inducidas durante 12 horas a 20°C:

TABLA I $Actividad \ HDC \ en \ extractos \ obtenidos \ de \ bacterias \ que \ expresan \ solo \ GST \ (control) \ o \ la \ fusión \ GST-rHDC1/512.$

	Actividad HDC (DPM/h)	Veces de incremento*
GST	519	-
GST-HDC 1	268221	517
GST-HDC 2**	109949	212

^{*} con respecto a la actividad de los controles.

50

55

60

^{**} se utilizó la mitad de proteínas totales que en GST-HDC 1.

Como control se usó un cultivo de bacterias transformadas con el plásmido original pGEX-3X (que expresa la GST sin fusionar). Diez microlitros del extracto las bacterias GST-rHDC1/512 (aproximadamente 1,3 mg de proteínas totales) contienen, al menos, dos órdenes de magnitud más actividad HDC que la que puede obtenerse a partir de un millón de células de mamíferos o de igual volumen de una reacción de expresión de HDC in vitro, y en una riqueza (antes de la cromatografía de afinidad a GST) que supone el 10-20 % de la proteína bacteriana, mientras que en cualquiera de los otros sistemas mencionados, la proteína está en los extractos en cantidad muy inferior al 0,1 %. De ello se deduce que, ciertamente, este sistema facilita la obtención a escala preparativa de proteína con actividad HDC, de potencial aplicación, como se ha mencionado anteriormente, en el desarrollo farmacéutico de nuevos productos inhibidores de la biosíntesis de histamina o la caracterización funcional de la enzima.

La fusión es también una fuente de proteína HDC recombinante activa no fusionada a GST. Así por ejemplo, 20 ml de sobrenadante de un extracto de cGST-rHDC1/512 (400 ml de cultivo) se sometieron a cromatografía en columna de glutation-Sepharose y el eluido (800 μ l) se trató con factor Xa (Boehringer Malheim)(50 ng Factor Xa por cada 5 μ g de proteína recombinante, durante 120 min, y 25°C en tampón Xa (Tris-HCl 20 mM, NaCl 100 mM, CaCl₂ 2 mM, pH 8,0). La actividad detectada en 10 μ l del producto de digestión fue de 200.000 dpm/mg proteína, actividad también muy superior a la que puede detectarse de una fuente natural. No obstante, como consecuencia del tratamiento proteolítico, la cantidad de proteína HDC (53 kDa) se veía muy disminuida respecto a la cantidad inicial de polipéptido de fusión, y aparecían nuevas bandas de peso molecular inferior producto de una proteolisis no específica en zonas internas de la secuencia de HDC. Aunque la secuencia de HDC no presenta un motivo consenso de hidrólisis por la proteasa Xa, probablemente la preparación comercial de factor Xa contenga otras proteasas contaminantes que actúan sobre el polipéptido de HDC. Casos similares con otras proteínas han aparecido en la bibliografía utilizando este sistema de expresión procariota.

Para la obtención de un suero capaz de efectuar el inmunoreconocimiento de HDC, el proceso de obtención de la fusión GST-rHDC1/512 descrito anteriormente se amplió a una escala de 400 ml de cultivo bacteriano. Mediante electroforesis preparativa desnaturalizante en gradiente 5-10 % de acrilamida se separó el polipéptido de fusión de 79 kDa. El trozo de gel correspondiente a ese peso molecular (2 g de gel que contenía aproximadamente 2,4 mg de proteína), junto con 1 ml de coadyuvante completo de Freund, se sonicaron hasta conseguir una emulsión estable, y se inyectaron subcutáneamente en el lomo de un conejo de raza Nueva Zelanda. A los 30 días, tuvo lugar una segunda sensibilización del animal, esta vez utilizando 1 ml de coadyuvante incompleto de Freund y otros 2,4 mg de proteína GST-HDC1/512 incluida en poliacrilamida. Transcurridos 10 días desde la segunda inmunización, los animales se sangraron para probar la inmunoreactividad del suero. El suero se obtuvo por los métodos habituales que implican la centrifugación a baja velocidad tras facilitar la coagulación sanguínea.

25

Este suero se sometió a una doble prueba, encaminada a detectar si los anticuerpos reconocían, tanto a la proteína de fusión, como a la proteína no fusionada a GST expresada por una fuente alternativa (expresión *in vitro*). Además quisimos comprobar que el suero reconocía tanto a la proteína nativa como a la proteína desnaturalizada en extractos crudos.

Para probar el suero anti GST-HDC en inmunotransferencia se realizó una electroforesis desnaturalizante (SDS/PAGE) (figura 3) con las siguientes muestras: bacterias expresando cGST-rHDC1/512 (calles 2 y 6), la fusión GST-rHDC 1/512 (calles 3 y 7) y la GST no fusionada (calle 4), todas ellas purificadas por afinidad, extractos procedentes de fibroblastos BALB/c 3T3 (calles 1 y 5), como controles negativos se utilizaron estas dos últimas muestras. Tras la electroforesis las proteínas se transfirieron a filtros de nitrocelulosa según el protocolo descrito por Harlow y Lane [Antibodies: a laboratory manual. (1988) Cold Spring Harbor Laboratory]. Posteriormente los filtros se saturaron incubandolo durante 1 hora con PBS suplementado con Tween-20 0,1% y leche en polvo desnatada al 5%. Seguidamente los filtros se incubaron con diluciones del suero anti GST-HDC (1/1000 y 1/5000) hechas en PBS suplementado con Tween-20 al 0,1% y albúmina bovina al 2% (figura 3). Puede observarse que la dilución 1/5000 del suero es capaz de reconocer el polipéptido de fusión purificado de 79 kDa minimizando el ruido de fondo debido a hibridaciones inespecíficas. En los extractos de GST (calle 4) o en los extractos de células 3T3 (donde no se espera expresión de proteína HDC) no se observaron señales algunas de 79 kDa a dilución 1/5000.

Por otra parte, con objeto de probar la capacidad del suero de inmunoprecipitar selectivamente proteína HDC en extractos eucariotas, se procedió a la expresión in vitro del plásmido pX-HDC utilizando como sistema de expresión el preparado comercial TnT de Promega, que contiene un lisado crudo de reticulocitos de conejo. El plásmido pX-HDC contiene el clon HDC 2.3 descrito por Joseph y clolaboradores [Proc. Natl. Acad. Sci., (1990) USA, 87: 733-737]. Este clon, traducido in vitro, codifica los aminoácidos 17 al 656 de la HDC de rata, un polipéptido no fusionado a GST mayor que el empleado

para la obtención del suero. En ese sistema, la cantidad de proteína expresada en una hora es tan baja respecto a la cantidad de proteínas totales presentes en los reticulocitos, que no se puede detectar por anticuerpos específicos en experimentos de inmunotransferencia ("Western"). La única forma de visualizar el polipéptido expresado *in vitro* es mediante marcaje del péptido sintetizado de *novo* por la incorporación de ³⁵S-Met.

Se procedió a la inmunoprecipitación de la proteína rHDC 17/656 expresada in vitro y marcada con $^{35}\text{S-Met};$ para ello se tomaron alícuotas de 5 μl de la reacción TnT y se incubaron durante 3 horas con distintos volúmenes del suero anti-fusión GST-rHDC1/512 (0.5, 1, 2 y 3 µl). En paralelo, se tomó el mismo volumen de una reacción de expresión in vitro de ornitina descarboxilasa de rata, como control, y se procedió también a su incubación con 3 μ l del mismo suero anti-fusión. Finalizada la incubación de los extractos con el suero anti-fusión, se añadieron 40 µl de Proteína A-agarosa (Boehringer Manheim), y se realizó una incubación adicional durante otros 60 min. Posteriormente los precipitados de antígenosanticuerpos-Proteína A se lavaron 6 veces mediante mediante centrifugación a 350 g. Finalmente, los precipitados se resuspendieron en 20 μ l de tampón de carga SDS-PAGE (Tris-HCl 0,125 M pH 6,8, SDS 4%, glicerol 20% (v/v), DTT 0.2 M, azul de bromofenol 0,02%) y se desnaturalizaron a 95-100°C durante 5 minutos. Las muestras desnaturalizadas se cargaron en un gel de electroforesis desnaturalizante, en el orden que se especifica en la figura 4A, donde la cantidad de μ l indica el volumen de suero utilizado, y las siglas superiores indican la enzima que se utilizó como antígeno en cada caso. La imagen es el resultado de la fluorografía realizada sobre los geles, aprovechando la emisión beta de los antígenos marcados con ³⁵S. La intensidad de las bandas indica, por tanto, la cantidad de proteína (HDC u ODC) que ha sido inmunoprecipitada por el anticuerpo. Los resultados de las bandas 73 y 51 kDa de la figura 4A (correspondientes a los teóricos pesos moleculares de los monómeros de HDC y ODC, respectivamente) cuantificados mediante densitometría se muestran en la figura 4B. Un microlitro de suero anti-fusión son suficientes para inmunoprecipitar el polipéptido rHDC17/656 presente en un extracto eucariota, donde el polipéptido HDC supone un porcentaje mínimo de la proteína total, al igual que ocurre en cualquier célula de mamífero, incluso en las mejores condiciones de expresión de HDC. Como puede observarse en la calle correspondiente a la inmunoprecipitación de ODC con el suero anti-fusión, el ruido de fondo causado por los anticuerpos es mínimo sobre la muestra compleja que supone el extracto de reticulocitos de conejo.

Estos resultados nos indican que estos anticuerpos podrían utilizarse en protocolos de inmunoprecipitación e inmunolocalización de HDC *in vivo*, y para el desarrollo de preparados comerciales para la detección de enzima mediante técnicas de radioinmunaensayo y ELISA.

El coste total estimado para la obtención de 200 ml de suero inmune (en la escala descrita anteriormente) es inferior a las 20.000 pts. La obtención del polipéptido de fusión (antígeno) necesario para la inmunización (desde que comienza el crecimiento bacteriano) no requiere más de 48 horas. Por el contrario, una purificación convencional a partir de una fuente naturales un proceso mucho más laborioso que debe prolongarse durante varios días consecutivos. Además, el crecimiento del material de partida original (tejidos animales o crecimiento del cultivo de las células eucariotas) consume como mínimo varios días. El tiempo de obtención de anticuerpos viene determinado por el protocolo de inmunización 40-45 días. Este tiempo es independiente de la fuente de obtención del antígeno. El coste del material de partida o medios de cultivo es también muy diferente en ambos casos. El precio de un litro de cultivo bacteriano, puede estimarse en menos de 100 pts incluyendo el IPTG añadido, mientras que el precio del número de fetos (o litros de cultivo) necesarios para obtener una cantidad equivalente de antígeno puede alcanzar varias decenas de miles de pesetas.

Explicación de las figuras

55

60

- Figura 1. Esquema de la estrategia utilizada para la clonación en pGEX-3X del inserto rHDC1/512, lo que da como resultado el plásmido recombinante pGEX-3X-rHDC1/512.
- Figura 2. Resultado de la expresión de la fusión en un cultivo de cGST-rHDC 1/512. La fotografía corresponde al resultado de una electroforesís desnaturalizante convencional en gel de poliacrilamida y SDS, en la que se habían cargado 5 μ l de sedimento o material no soluble obtenido tras la lisis bacteriana (calle 1), 5 μ l de sobrenadante o material soluble obtenido tras la lisis bacteriana (calle 2), así como el resultado de la purificación por cromatografía de afinidad a glutation-Sepharose (calle 3), siguiendo las recomendaciones de la casa comercial (Pharmacia Biotech). Las proteínas se tiñeron con Azul de Coomasie R-250.
- Figura 3. Resultado de una electroforesis desnaturalizante (SDS/PAGE), para probar el suero anti GST-HDC en inmunotransferencia, con las siguientes muestras:

- bacterias expresando cGST-rHDC1/512 (calles 2 y 6)
- fusión GST-rHDC 1/512 (calles 3 y 7)
- GST no fusionada (calle 4)
- Extractos procedentes de fibroblastos BALB/c 3T3 (calles 1 y 5)

Figura 4. Inmunoprecipitación de la proteína rHDC 17/656, expresada in vitro, marcada con 35 S-Met y separada por electroforesis desnaturalizante.

A. Imagen resultante de la fluorografía realizada sobre los geles, aprovechando la emisión beta de los antígenos marcados con 35 S. La cantidad de μ l indica el volumen de suero utilizado, y las siglas superiores indican la enzima que se utilizó como antígeno en cada caso.

La intensidad de las bandas indica, por tanto, la cantidad de proteína (HDC u ODC) que ha sido inmunoprecipitada por el anticuerpo.

B. Cuantificación de las bandas inmunoprecipitadas por el suero anti GST-HDC

Lista de secuencias

5

10

15

40

ID.SEC.n° 1. Información de la secuencia

20 Longitud: 1564 pares de bases

Tipo: ácido nucleico (DNA)

Número de hebras: doble

Tipo de molécula: DNA complementario (cDNA)

Origen: Ratus norvegicus

30 Característica:

Zona codificante: 14 - 1549

Sitios de restricción BamHI: 6 - 11; 1552 - 1557

Otra información: clon de cDNA truncado de la histidina descarboxilasa de rata

Descripción de la secuencia:

GATTIGGATC CCT ATG ATG GAG CCC AGT GAA TAC CAT GAA TAC CAA GCT AGA GGG AAA GAG 61 Met Met Glu Pro Ser Glu Tyr His Glu Tyr Gln Ala Arg Gly Lys Glu 10 15 1 45 ATG GTG GAT TAC ATC TGC CAG TAC CTG AGC ACC GTG CGG GAG AGG CAG GTG ACC CCA AAT Met Val Asp Tyr Ile Cys Gln Tyr Leu Ser Thr Val Arg Glu Arg Gln Val Thr Pro Asn 50 GTG AAG CCT GGG TAC CTG CGA GCC CAG ATA CCT TCA AGT GCT CCT GAG GAA CCC GAC AGC 181 Val Lys Pro Gly Tyr Leu Arg Ala Gln Ile Pro Ser Ser Ala Pro Glu Glu Pro Asp Ser 55 40 45 55 TOG GAT AGC ATC TIT GGG GAC ATT GAG CAA ATC ATC ATG CCT GGG GTG GTT CAC TGG CAG 241 Trp Asp Ser Ile Phe Gly Asp Ile Glu Gln Ile Ile Met Pro Gly Val Val His Trp Gln 60 65 70 60

	AGC CCC CAG	C ATG CAC	GCC TAC TAT	CCG GCT CT	C ACC TCT T	IGG CGA TCC CTG	CTA GGA GAT 301
	Ser Pro Hi	s Met His	Ala Tyr Tyr	Pro Ala Le	ı Thr Ser T	Irp Arg Ser Leu	Leu Gly Asp
5		80		85	g	90	95
	ATG CTG GC	T GAT GCC	ATC AAC TGC	TIG GGG TIV	C ACG TGG (GCT TCC AGC CCG	GCC TGC ACA 361
	Met Leu Ala	a Asp Ala	Ile Asn Cys	Leu Gly Ph	e Thr Trp A	Ala Ser Ser Pro	Ala Cys Thr
10		100		105	=	110	115
	GAG CTG GA	G ATG AAC	ATC ATG GAC	TGG CTG GC	G AAG ATG (CTG GGG CTC CCG	GAC TTC TTC 423
15	Glu Leu Gl	u Met Asn	Ile Met Asp	Trp Leu Ala	a Lys Met 1	Leu Gly Leu Pro	Asp Phe Phe
10		120		125		130	135
						CAG AGG ACT GTC	
20	Leu His Hi	s His Pro	Ser Ser Gln	Gly Gly Gl		Gln Arg Thr Val	
		140		145	:	150	155
25	ACT TTA ATT	GCC CTG (CTG GCA GCA	AGG AAG AAC	AAA ATC CT	TA GAA ATG AAA (GCG CAT GAG 541
	Thr Leu Ile	Ala Leu I	Leu Ala Ala	Arg Lys Asn	Lys Ile Le	eu Glu Met Lys i	Ala His Glu
		160		165	17	70	175
30	CCC AAT GCT	GAT GAG	ICC TCT CTG	AAC GCT CGT	CTT GTT G	CC TAT GCC TCT	GAC CAG GCT 601
	Pro Asn Ala	Asp Glu S	Ser Ser Leu	Asn Ala Arg	Leu Val Al	la Tyr Ala Ser i	Asp Gln Ala
		180		185	19	90	195
35	CAC TCT TCA	GTG GAG	AAG GCT GGC	TTG ATT TCC	CTT GTG A	AG ATC AAA TTT (CTG CCT GTG 661
	His Ser Ser	Val Glu 1	Lys Ala Gly	Leu Ile Ser	Leu Val Ly	ys Ile Lys Phe :	Leu Pro Val
		200		205		10	215
40						CC ATC GAG GAA	
	Asp Asp Asn	Phe Ser	Leu Arg Gly	Glu Ala Leu		la Ile Glu Glu .	
45		220		225		30	235
10						CC ACT GGA GTC	
	Gln Gly Leu		Val Pne Val			hr Thr Gly Val 50	255
50		240		245		ga ctg tgg ctc	
						ly Leu Trp Leu	
	wab naa ned	260	Ded Giv Fio	265		70	275
55	ርረጥ ርረጥ ጥ <u>ል</u> ጥ		ACA GCC TTTT			GG GGC TTC CTG	
						rg Gly Phe Leu	
		280		285		90	295
60							

	GAG	TAC	GCC	GAC	TCC	TTC	ACC	TTT	AAC	CCT	TCC	AAG	TGG	ATG	ATG	GTG	CAC	TTT	GAC	TGC	961
	Glu	Tyr	Ala	Asp	Ser	Phe	Thr	Phe	Asn	Pro	Ser	Lys	Trp	Met	Met	Val	His	Phe	Asp	Cys	
5				300					305					310					315		
	ACT	GGG	TTC	TGG	GTC	AAG	GAC	AAG	TAC	AAG	CTA	CAG	CAG	ACC	TTC	AGT	GTG	AAC	CCC	ATC	1021
	Thr	Gly	Phe	Trp	Val	Lys	Asp	Lys	Tyr	Lys	Leu	Gln	Gln	Thr	Phe	Ser	Val	Asn	Pro	Ile	
10				320					325					330					335		
	TAC	CTC	AGA	CAT	GCG	AAC	TCT	GGT	GTC	GCC	ACT	GAC	TIC	ATG	CAT	TGG	CAG	ATC	CCC	TTG	1081
	Tyr	Leu	Arg	His	Ala	Asn	Ser	Gly	Val	Ala	Thr	Asp	Phe	Met	His	Trp	Gln	Ile	Pro	Leu	
15				340					345					350					355		
	AGC	CGG	CGC	TTT	CGC	TCC	ATT	AAG	CTG	TGG	TTT	GTG	ATT	CGG	TCC	TTC	GGG	GTG	AAG	AAT	1141
	Ser	Arg	Arg	Phe	Arg	Ser	Ile	Lys	Leu	Trp	Phe	Val	Ile	Arg	Ser	Phe	Gly	Val	Lys	Asn	
20				360					365					370					375		
	CTT	CAA	GCA	CAT	GTC	AGA	CAC	GGT	ACA	GAC	ATG	GCT	AAA	TAC	TTT	GAA	TCT	CTA	GTC	AGG	1201
0.5	Leu	Gln	Ala	His	Val	Arg	His	Gly	Thr	Asp	Met	Ala	Lys	Tyr	Phe	Glu	Ser	Leu	Val	Arg	
25				380					385					390					395		
30		~			mmo.	G	3 (1111)	OOT.	CCIII	CAC	200	CAC	CITT	CCT	СПС	CIIC.	CITT	ولعلمان	CGT	CTG	1261
30																					1201
	Ser	Asp	Pro		Pne	GIU	TTE	Pro		GIU	ALG	urs	шец	410	пец	vai	vai	THE	Arg 415	шсч	
35				400	mam	ama	101	G3.3	405	cma.	TT TT 7	770	C		CCC	מממ	ልርጥ	CCC		CTC	1321
00																			CAG Gln		1021
	Lys	GIY	Pro		Cys	ьeu	Thr	GIU		Val	пеп	пур	GIU	430	AIG	DyЗ	1111	GIJ	Gln 435	vai	
40			3 ma	420	000	3 OTT	N III/O	03.0	425	7 7 C	CTTC	אחוצי	ייחע		יאנייני	acc.	стус	ACG	TCC	CAG	1381
																			Ser		
	Phe	Leu	IIe		Ala	1111	TTG	GIII	445	пур	ьеu	TTC	TIG	450	1110	1111	Val		455	U	
45		200	100	440	C A FIII	CAC	N TTV	CTC		CAT	TCC	ልልሮ	CTC		CGA	GAG	GCT	GCT		CTT	1441
																			Asn		
	Pne	Inr	7111		ASP	ASP	TTE	neu	465	rop	115	71011	Dea	470	9				475		
50	ama	000	200	460	C	mcc.	л сит	шст		ccc	NCC.	CCT	CCC		AAG	אאר	بلغلت	ידידים	CCA	CCG	1501
																			Pro		
	Vai	ьeu	Ser		HIS	cys	1111	Set		PIO	Ser	FIO	мg	490	цур	71011	Dou		495		
55	000	0770	200	480	C 3 C	maa	222	CNC	485	አርር	צ צ עם	CCC	CTA		CTY	GAG	ጥልር፡	GAT.	CCTG	AGG	1562
																		0211			2002
	Pro	val	ınr	Arg	Asp	ser	пув	Asp			Moll	GTĀ	neu	510	Leu	Giu					
60	<i>0</i> 3			500					505					510							1564
	GΑ																				

REIVINDICACIONES

5	1. Los anticuerpos policionales obtenidos a partir de la proteina de fusion GST-rHDC1/512, qui reconocen como antígeno a la HDC de rata en su forma nativa y desnaturalizada.
10	
15	
20	
25	
30	
35	
10	
15	
50	
55	
60	

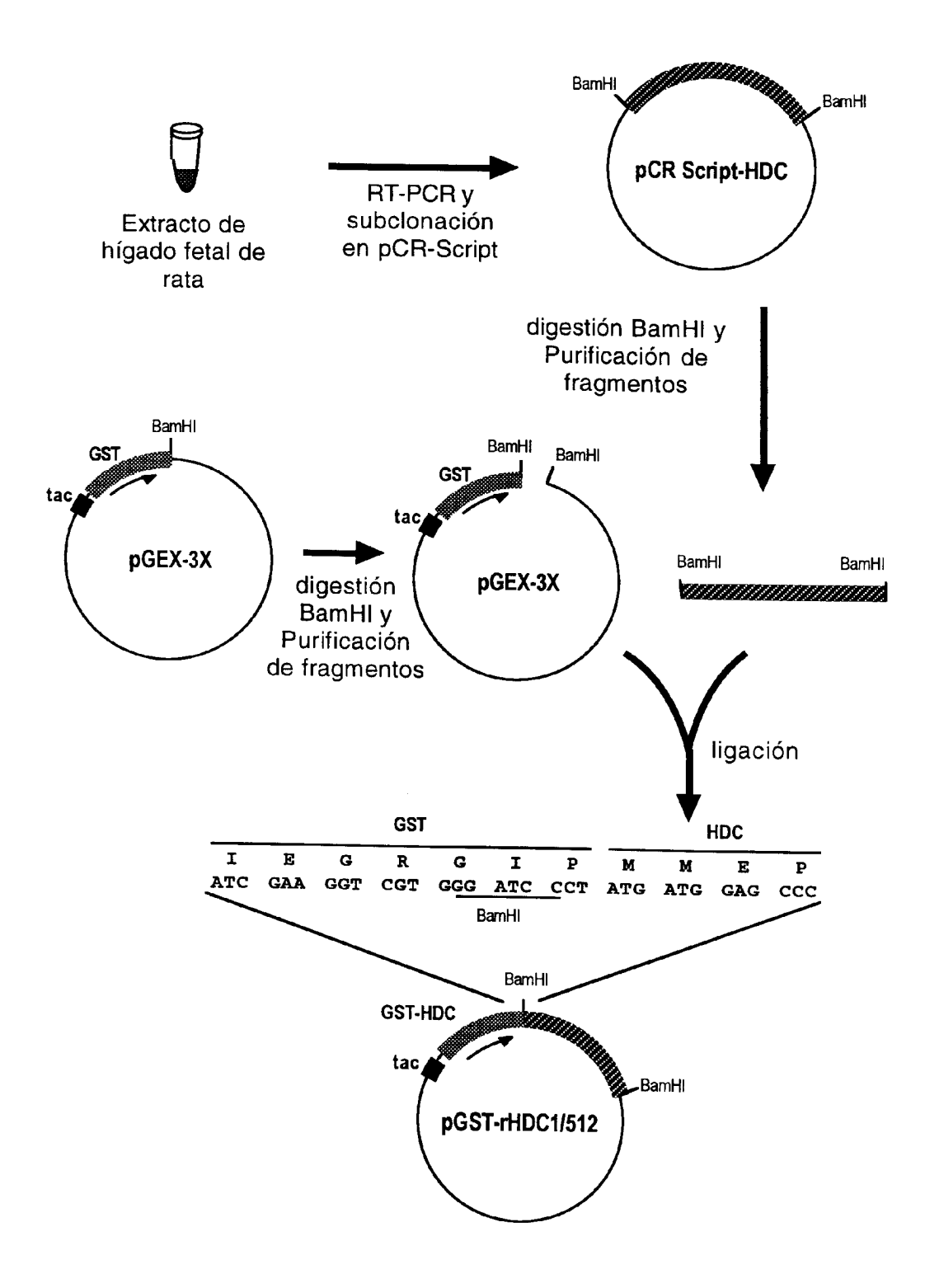


Figura 1

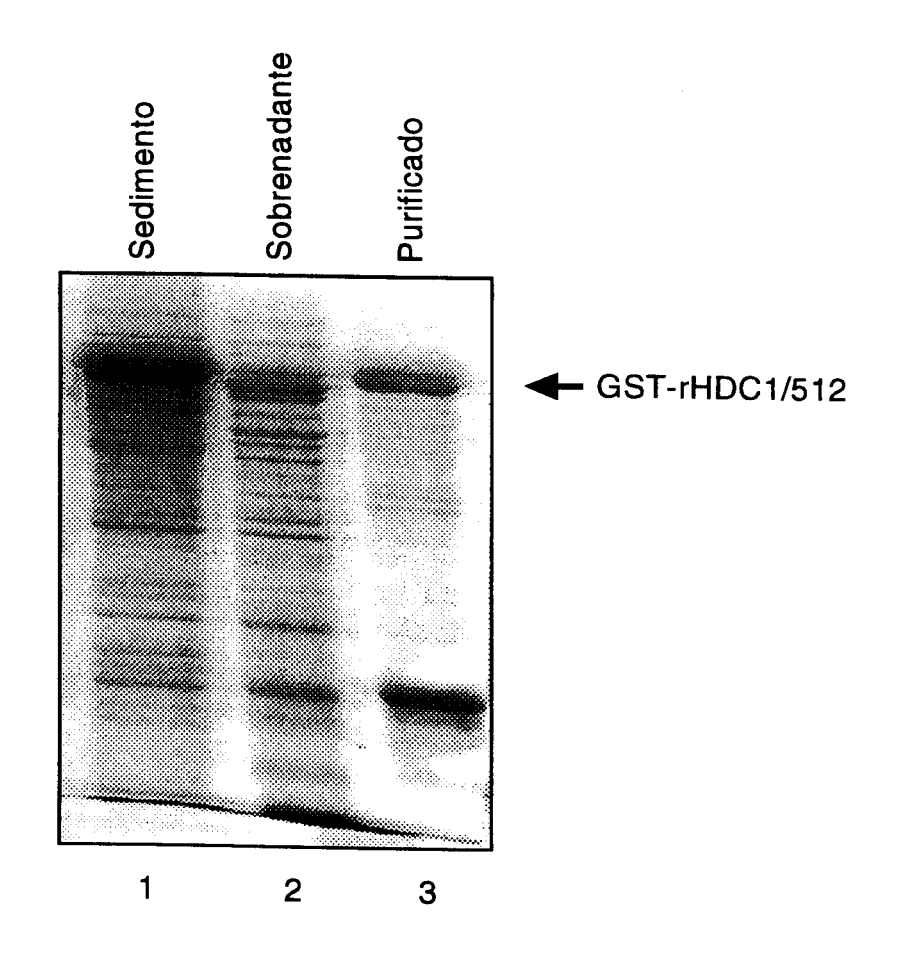


Figura 2

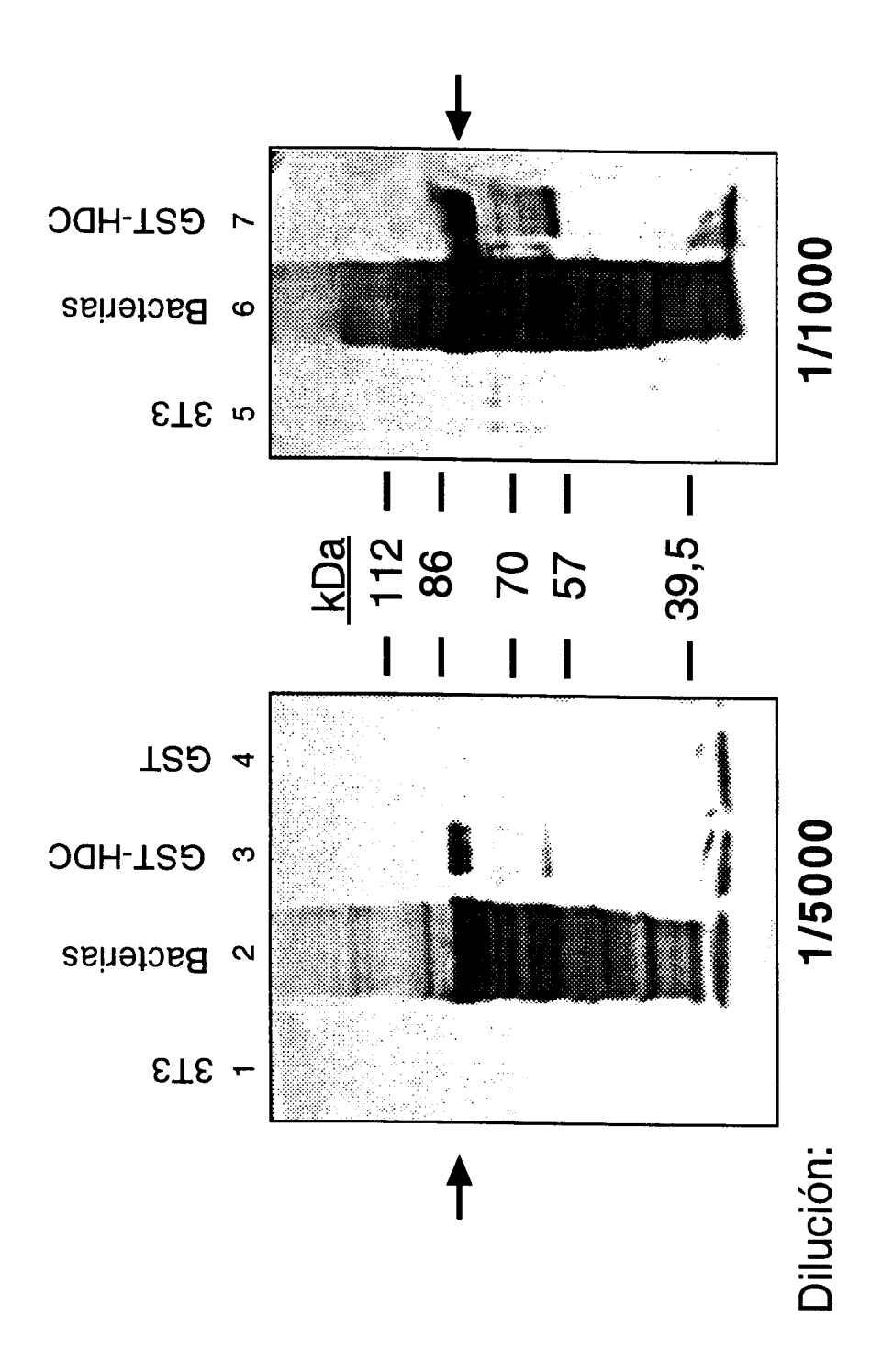
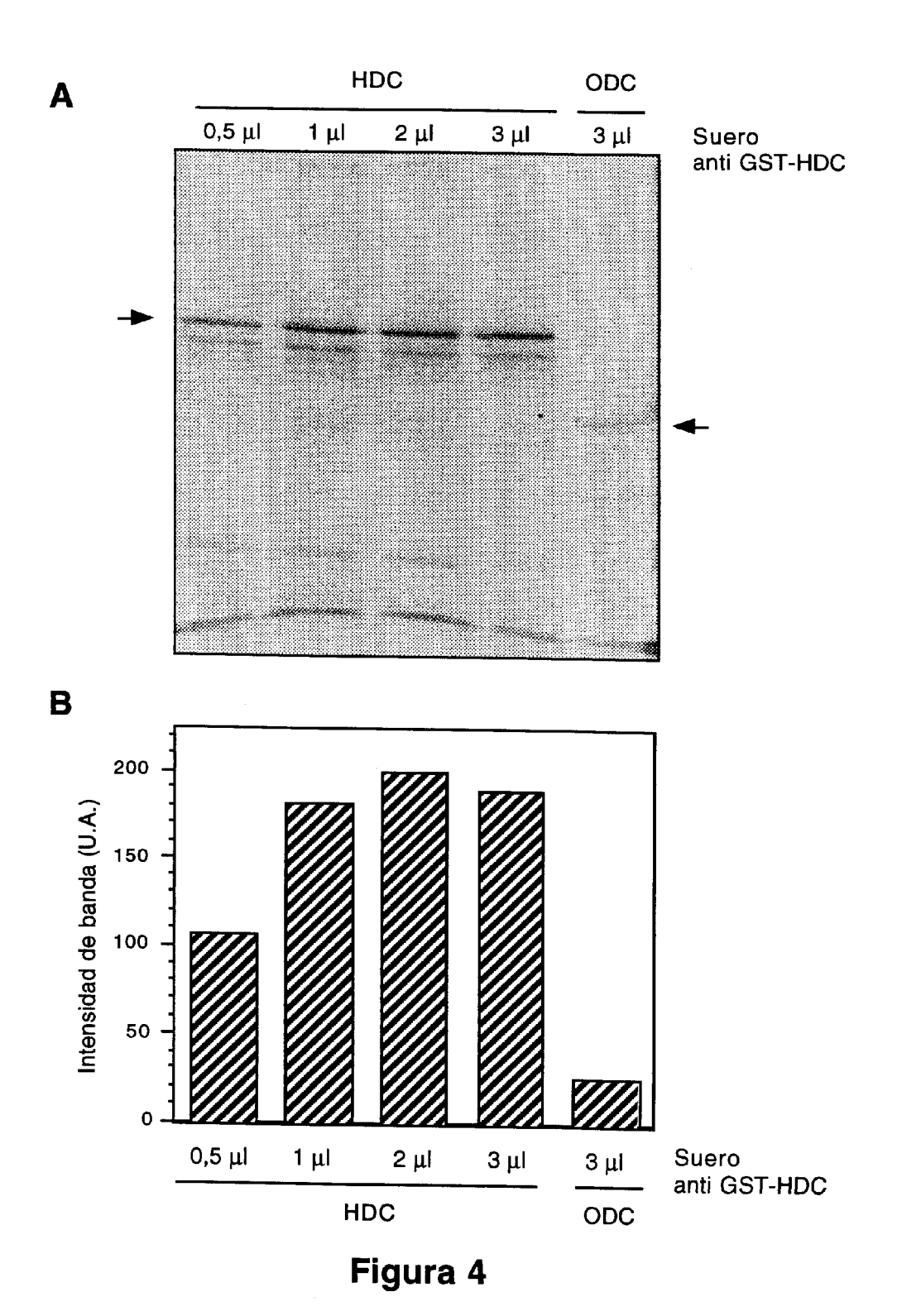


Figura 3





① ES 2 135 350

 $\bigcirc 1$ N.° solicitud: 9800019

(22) Fecha de presentación de la solicitud: 08.01.98

(32) Fecha de prioridad:

INFORME SOBRE EL ESTADO DE LA TECNICA

(51) Int. Cl. ⁶ :	C12N 9/88, 9/96, A61K 38/51

DOCUMENTOS RELEVANTES

Categoría		Documentos citados	Reivindicaciones afectadas
Y	US 5654176 A (SMITH, D.B.) línea 62 - página 3, línea 15; p línea 40 - página 13, línea 17.	05.08.1997, página 2, ágina 4, líneas 28-30; página 11,	1
Y	JOSEPH, D.R. et al. "Charact complementary DNA encoding Sept. 1990. Proc. Natl. Acad. páginas 734-736.	rat histidine decarboxylase".	1
Α		tion of a rat brain histidine tobe by PCR and adsignment of the human . Nov. 1992. HUMAN GENETICS,	1
A	YAMAMOTO, J. et al. "Exprerecombinant mouse mastocyto Dic. 1993. BIOCHIMICA ET E páginas 431-40.		1
X: de Y: de m	egoría de los documentos citado e particular relevancia e particular relevancia combinado co hisma categoría efleja el estado de la técnica	O: referido a divulgación no escrita	·
El pr	resente informe ha sido realiza para todas las reivindicaciones	para las reivindicaciones n°:	
Fecha d	le realización del informe 06.07.99	Examinador A. Collados Martín Posadillo	Página 1/1